

UNIVERSIDADE FEDERAL DE SANTA CATARINA
CENTRO DE CIÉNCIAS HUMANAS
DEPARTAMENTO DE GEODIENCIAS
CURSO DE MESTRADO EM GEOGRAFIA

Evolução da vegetação do Alto Vale do Rio
Itajaí-Ribeirão nas proximidades de Botuverá, SC.

por

GILBERTO FRIEDENREICH DOS SANTOS

ORIENTADOR: Prof. Dr. João José Bigarella

MESTRADO DE MESTRADO

ÁREA DE CONSERVAÇÃO: Utilização e Conservação
de Recursos Naturais

Fortaleza - CE

ABRIL, 1991

UNIVERSIDADE FEDERAL DE SANTA CATARINA
CENTRO DE CIÊNCIAS HUMANAS
DEPARTAMENTO DE GEOCIÉNCIAS
CURSO DE MESTRADO EM GEOGRAFIA

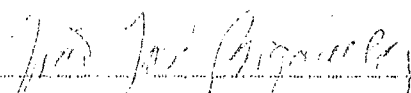
EVOLUÇÃO MIGRATÓRIA DO ALTO VALE DO RIO
ETAJAI-MIRIM NAS PROXIMIDADES DE BOTUVERA, SC.

por

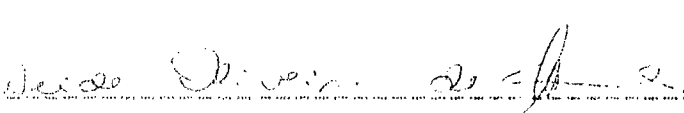
GILBERTO FRIEDENREICH DOS SANTOS

Dissertação submetida ao Curso de Mestrado em
Geografia, Área de Concentração: Utilização
e Conservação de Recursos Naturais, do
Departamento de Geociências do Centro de
Ciências Humanas da UFSC, em cumprimento
parcial dos requisitos para obtenção do
título de Mestre em Geografia.

APROVADA PELA COMISSÃO EXAMINADORA EM 05/04/1991


Prof. Dr. João José Gizzarelli (UFPR) - Orientador


Prof. Dra. Dirce Maria Antunes Suertegaray (UFRGS)


Prof. Ms. Neide Oliveira de Almeida (UFSC)

Florianópolis - SC

ABRIL, 1991

Aos meus pais, Pedro e Eleonora, que com carinho sempre me acolheram e incentivaram, meu muito obrigado.

Aos meus avós "in memoriam".

A minha noiva Ligiani com muito amor, agradeço ao afeto transmitido.

i i i

AGRADECIMENTOS

A presente dissertação foi elaborada graças ao auxílio financeiro concedido pelo Conselho Nacional de Desenvolvimento Científico e Tecnológico (CNPq).

Expresso a minha gratidão especial ao Professor João José Biparella pela valiosa orientação; e ao Professor Luiz Fernando Scheibe, que durante a coordenação do Curso de Pós-Graduação em Geografia, atuou eficiente e pacientemente pelos interesses do curso.

Aos Professores do Curso de Pós-Graduação em Geografia, pela colaboração durante a elaboração da dissertação.

Aos Professores, funcionários e estudantes do Centro de Estudos de Geologia Costeira e Oceânica (CEGO) do Instituto de Geociências da Universidade Federal do Rio Grande do Sul (UFRGS).

Ao Laboratório de Análises Mecânica dos Solos da Engenharia Civil.

Às lacarias Carvalho responsável pela confecção dos desenhos, e a Valmir Volpato responsável pela datilografia da dissertação.

Aos membros da banca, Professoras Dircé Maria Antunes Suertegaray, Neide Oliveira de Almeida e Maria Dolores Buss, que prontamente aceitaram o convite.

	1
1	2
2	3
3	4
4	5
5	6
6	7
7	8
8	9
9	10
10	11
11	12
12	13
13	14
14	15
15	16
16	17
17	18
18	19
19	20
20	21
21	22
22	23
23	24
24	25
25	26
26	27
27	28
28	29
29	30
30	31
31	32
32	33
33	34
34	35
35	36
36	37
37	38
38	39
39	40
40	41
41	42
42	43
43	44
44	45
45	46
46	47
47	48
48	49
49	50
50	51
51	52
52	53
53	54
54	55
55	56
56	57
57	58
58	59
59	60
60	61
61	62
62	63
63	64
64	65
65	66
66	67
67	68
68	69
69	70
70	71
71	72
72	73
73	74
74	75
75	76
76	77
77	78
78	79
79	80
80	81
81	82
82	83
83	84
84	85
85	86
86	87
87	88
88	89
89	90
90	91
91	92
92	93
93	94
94	95
95	96
96	97
97	98
98	99
99	100

	Página
3. Morfogênese e Ciclicidade das formas de relevo ...	33
3.1. Morfoclitotopografia	33
3.2. Litologia e Estrutura	36
3.3. Periplaneta	40
3.4. Pedimento	41
3.5. Ciclicidade das formas remanescentes de relevo no vale do Rio Itajai-Mirim	44
3.6. Perfil longitudinal do Rio Itajai-Mirim	47
4. Formação Tafasiva	58
7. Rampa Coluvionar-Luvionar	64
8. Linhas de Fane	71
8.1. Descrição	71
8.2. Gênese	73
9. Sedimentos Biocenéticos	77
10. Estratigráfico	79
10.1. Cenozoocladeros	79
10.2. Descrição das secções estratigráficas	79
11. Sedimentotécnica	105
11.1. Material e métodos	105
11.1.1. Tempo	105
11.1.2. Laboratório	105
11.1.3. Gabinete	106

	Página
III.2. Características Texturais	114
III.2.1. Generalidades	114
III.2.2. Distribuição de frequência do tamanho	115
III.2.2.1. Histograma de frequência	115
III.2.2.2. Diagramas circulares	116
III.2.2.3. Curvas de frequência acumulada	123
III.2.2.4. Diagramas triangulares	124
III.3. Medidas de Tendência Central	133
III.3.1. Classe Modal	133
III.3.2. Número de Classes Texturais	134
III.3.3. Mediana	135
III.3.4. Média Aritmética	136
III.3.5. Desvio-Padrão Gráfico Inclusivo	140
III.3.6. Assimetria Gráfica Inclusiva	142
III.3.7. Curtose Gráfica	143
III.4. Correlação entre os Parâmetros Estatísticos	146
III.4.1. Generalidades	146
III.4.2. Correlação entre o diâmetro médio aritmético e o desvio-padrão	147
III.4.3. Correlação entre o diâmetro médio aritmético e a assimetria	148
III.4.4. Correlação entre o diâmetro médio aritmético e a curtose	149
III.4.5. Correlação entre o desvio-padrão e a assimetria	150
III.4.6. Correlação entre o desvio-padrão e a curtose	151
III.4.7. Correlação entre a assimetria e a curtose	152
III.5. Morfometria	153
III.5.1. Generalidades	153
III.5.2. Arredondamento	155
III.5.3. Esfericidade	157
III.5.4. Textura Superficial	159
IV. Conclusões	164
V. Referências Bibliográficas	168

LISTA DE TABELAS

	Página
I - Análise Granulométrica por Pintagem e Granulação, Propriedade e Tempo	102
II - Classificações do tamanho dos grãos de acordo com Wentworth (mm) com os correspondentes valores em ϕ da Krumbein	109
III - Valores da Composição Granulométrica e textural das amostras	110
IV - Valores dos Parâmetros Estatísticos das Amostras	111
V - Frequência do Número de Classes Texturais	134
VI - Valores obtidos em ϕ dos Diâmetros Mediano e o Médio Aritmético e Valor Médio do Iz	135
VII - Classes texturais onde são encontrados os diferentes valores dos Diâmetros Mediano e Médio Aritmético. A frequência indicada na Tabela refere-se ao número de casos	137
VIII - Frequência do Número de Casos do Desvio Padrão	143
IX - Frequência em Número de Casos da Assimetria	143
X - Frequência em Número de Casos da Curtose	145
XI - Número de medidas e respectivos arredondamentos médios, de acordo com os intervalos de classe de Wentworth, para as diversas amostras estudadas	155
XII - Número de medidas e respectivas esfericidades médias, de acordo com os intervalos de classe de Wentworth, para as diversas amostras estudadas	157
XIII - Resultados da análise da textura superficial (%) das amostras estudadas	161

LISTA DE FIGURAS

	Página
1 - Mapa da localização da área de estudo - Botuverá	5
2 - Mapa da Bacia Hidrográfica do Rio Itajai-Mirim	6
3 - Mapa de Geologia - Botuverá	7
4 - Mapa de Geologia (Complexo Metamórfico Brusque - Botuverá)	14
5 - Seção Geológica (k)	24
6 - Plana de Morfologia - Botuverá	32
7 - Perfil topográfico correspondente a Serra dos Farnais indicando as formas remanescentes do relevo (pediplanos, pedimentos e rupturas de declive)	30
8 - Perfil topográfico correspondente a Serra do Itajai indicando as formas remanescentes do relevo (pediplanos, pedimentos e rupturas de declive)	30
9 - Perfil topográfico correspondente a Serra de Timijucas indicando as formas remanescentes do relevo (pediplanos, pedimentos e rupturas de declive)	31
10 - Perfis topográficos correspondentes à área de estudo (Botuverá) indicando as formas remanescentes do relevo (pediplanos, pedimentos, rupturas de declive e terraco de cascalho)	32
11 - Perfis topográficos correspondentes às folhas de Brusque e Içápari indicando as formas remanescentes do relevo (pediplanos, pedimentos e rupturas de declive)	33
12 - Mapa de localização dos perfis topográficos da área de estudo e distribuição dos níveis altimétricos	34
13 - Perfil topográfico das linhas meridianas de 78° a 93° (Folhas Botuverá e Aiquiti) entre as linhas paralelas de 00° a 08°	35
14 - Perfil topográfico das linhas paralelas de 00° a 06° (Folha de Botuverá) e 04° a 09° (Folha de Aiquiti) entre as linhas meridianas de 78° e 93°	36

15 - Perfil longitudinal - Rio Itajá-Mirim	57
16 - Esboço morfológico - Seção A	80
17 - Secção estratigráfica A	80
18 - Secção estratigráfica B	82
19 - Secção estratigráfica B1	82
20 - Secção estratigráfica B2	82
21 - Secção estratigráfica B3	82
22 - Esboço morfológico - Seções C, D e E	84
23 - Esboço morfológico - Seções C, D e E	84
24 - Secção estratigráfica C	85
25 - Secção estratigráfica D	86
26 - Secção estratigráfica E	87
27 - Esboço morfológico - Seções F e G	89
28 - Secção estratigráfica F e G	90
29 - Esboço morfológico - Seção H	95
30 - Secção estratigráfica H	96
31 - Secção estratigráfica H1	96
32 - Secção estratigráfica H3	99
33 - Esboço morfológico - Seção I	101
34 - Secção estratigráfica I	101
35 - Secção estratigráfica J	102
36 - Localização das seções estratigráficas	104
37 - Histogramas e diagramas circulares das unidades estratigráficas da seção A	117
38 - Histogramas e diagramas circulares das unidades estratigráficas da seção B	118
39 - Histogramas e diagramas circulares das unidades estratigráficas da seção C	118

40 - Histogramas e diagramas circulares das unidades estratigráficas da secção D	118
41 - Histogramas e diagramas circulares das unidades estratigráficas da secção E	119
42 - Histogramas e diagramas circulares das unidades estratigráficas da secção F	120
43 - Histogramas e diagramas circulares das unidades estratigráficas da secção G	119
44 - Histogramas e diagramas circulares das unidades estratigráficas da secção H1	121
45 - Histogramas e diagramas circulares das unidades estratigráficas da secção H2	121
46 - Histogramas e diagramas circulares das unidades estratigráficas da secção H3	122
47 - Histogramas e diagramas circulares das unidades estratigráficas da secção I	122
48 - Histogramas e diagramas circulares das unidades estratigráficas da secção J	122
49 - Histogramas e diagramas circulares das amostras dos níveis de terrço (T_{v1} e T_{v2}) - Centro de Botuverá	123
50 - Histogramas e diagramas circulares das amostras do canal de drenagem, planicie de inundação (T_{v3}) e níveis de terrço (T_{v4} e T_{v5}) - Próximo às secções estratigráficas C, D e E	123
51 - Diagrama triangular das amostras com menos de 5% de cascalho	123
52 - Diagrama triangular das amostras com mais de 5% de cascalho	123
53 - Curvas acumulativas e classificação textural das unidades estratigráficas da secção A	126
54 - Curvas acumulativas e classificação textural das unidades estratigráficas da secção B	126
55 - Curvas acumulativas e classificação textural das unidades estratigráficas da secção C	127

56 - Curvas acumulativas e classificação textural das unidades estratigráficas da secção D	127
57 - Curvas acumulativas e classificação textural das unidades estratigráficas da secção E	128
58 - Curvas acumulativas e classificação textural das unidades estratigráficas da secção F	129
59 - Curvas acumulativas e classificação textural das unidades estratigráficas da secção G	128
60 - Curvas acumulativas e classificação textural das unidades estratigráficas da secção H1	130
61 - Curvas acumulativas e classificação textural das unidades estratigráficas da secção H2	130
62 - Curvas acumulativas e classificação textural das unidades estratigráficas da secção H3	131
63 - Curvas acumulativas e classificação textural das unidades estratigráficas da secção I	131
64 - Curvas acumulativas e classificação textural das unidades estratigráficas da secção J	132
65 - Curvas acumulativas e classificação textural dos depósitos sedimentares do canal de drenagem, planicie de inundação (T_{vo}) e terraços fluviais (T_{v1} e T_{v2})	132
66 - Gráfico de correlação entre o diâmetro médio aritmético e o desvio-padrão	147
67 - Gráfico de correlação entre o diâmetro médio aritmético e a assimetria	148
68 - Gráfico de correlação entre o diâmetro médio aritmético e a curtose	150
69 - Gráfico de correlação entre o desvio-padrão e a assimetria	151
70 - Gráfico de correlação entre o desvio-padrão e a curtose	152
71 - Gráfico de correlação entre a assimetria e a curtose	153
72 - Gráfico de correlação entre o arredondamento e a preferencialidade para as diversas amostras estudadas ..	159

73 - Diagrama ilustrando as propriedades textureis da superfície no prão para as diversas amostras estudadas de acordo com os intervalos de classe de Wentworth 162

74 - Gráfico de correlação entre o arredondamento médio e a percentagem de grãos lisos polidos e mamelonados polidos para as diversas amostras estudadas .. 163

LISTA DE FOTOS

	Página
1 - Gruta de Ribeirão do Ouro revestido por estalactites de extremidade pontiaguda	19
2 - Gruta de Ribeirão do Ouro com formação de estalagmites	19
3 - Gruta de Ribeirão do Ouro com formação de estalagmites em forma de "velas"	20

RESUMO

O objetivo da presente pesquisa foi compreender melhor a gênese e formação do Vale do Rio Itajai-Mirim, baseando-se na interpretação da evolução do relevo e dos processos de sedimentação durante o Neo-Cenozóico.

Nas Bacias Hidrográficas do Rio Itajai-Mirim foram identificados três níveis de superfície aplainada (P_{ds} , P_{de} e P_{da}) e dois níveis de erosão (P_a e P_{ea}).

Nas proximidades de Betuvera, o levantamento das diferentes secções estratigráficas revelam sequências de camadas fluviais (terraços de cascalho) recobertos por rampas eólicas-luvionares intercaladas com paleopavimentos detriticos.

Para as unidades litoestratigráficas mencionadas acima, bem como os sedimentos holocénicos (terraços de várzea e planicie de inundação) foram determinadas as características texturais (granolometria e morfoscopia) e estruturais.

Foram identificados três níveis de terraços de cascalho na área de estudo, correspondendo provavelmente aos níveis T_{pa} , T_{de} e T_{da} . A idade dos níveis dos terraços de cascalho, que encontram-se embutidos em diferentes posições na topografia, foram obtidos pela comparação com os níveis contemporâneos da superfície aplainada (pediplanos e pedimentos).

A evolução climática da paisagem está relacionada a mudanças oceanográficas. Nas latitudes mais altas, as glacições correspondem aos períodos de avanço das grandes geleiras, caracterizando um clima frio e seco. Embora não haja nenhuma documentação pluviométrica, elas propiciaram nas latitudes tropicais e subtropicais as mudanças climáticas

para o semi-árido, provocando mudanças das condições hidrológicas, encorajamento vegetal, e dos processos de desmudança das vertentes. As épocas inter-glaciais correspondem à época de um clima úmido.

As sucessivas mudanças climáticas são responsáveis pela atuação alternada de dois processos morfogénéticos distintos, que contribuem nas épocas semi-áridas a degradação lateral das vertentes acompanhada de sedimentação, e nas épocas úmidas a dissecação vertical do terreno que origina anconformidades perceivíveis ou diastemas no substrato rochoso e nos depósitos sedimentares.

As sucessivas mudanças climáticas para o semi-árido propiciaram a formação de pediplanos e pedimentos em níveis embutidos e escalonados, bem como a ocorrência lateral de antigos canais de drenagem (terracos de cascalho).

Os níveis de terraco de várzea T_{ve} e T_{vz} evidenciam duas fases curtas de clima mais seco - não glacial - dentro da época úmida atual (Holoceno).

Os sedimentos da Formação Itaipava foram depositados em sucessivos ímpetos em caráter de transporte rápido e formação de canalizações.

Seus campões soliflacionais e luvionares depositaram-se através dos sucessivos períodos de movimentos de massa (solifluxão). As camadas de detrito são alternadas com linhas de pedra (selincos) que sólido que concentraram-se a partir da remoção da matéria detritica fino nas flutuações climáticas para condições mais secas.

ABSTRACT

The main purpose of the present contribution is related to the better understanding of the origin and evolution of the valley of the Itajai-Mirim river, its slopes and deposits. The interpretation of the several events was based on the evolution of the landforms and the sequence of processes of sedimentation acting during neocenozoic times.

In the Itajai-Mirim Hydrographic Basin were identified three levels of erosion surfaces pediplanes (P_{ds} , P_{de} and P_{da}) and two pediments levels (P_s and P_a).

At the vicinities of Botuverá several stratigraphic sections were measured. They comprise fluvial sequences (gravel terraces) covered by deposits of colluvium-alluvium ramps with interbedded stone lines (rudaceous paleopavements).

The different lithostratigraphic units above mentioned and as well Holocene sediments (flood plain and varzea terraces deposits) were studied concerning its textural (grain size and morphoscopy) and structural characteristics.

In the surveyed area were identified three gravel terraces possibly related to T_{ps} , T_{pi} and T_{ca} levels. The age of the several gravel terraces inset at different topographic levels were related to various remnants levels of planated erosion surfaces (pediments and pediplanes).

The cyclic evolution of the landscape is correlated with the cyclicity of the quaternary glaciations. In higher latitudes the glaciations correspond to the advance of the glaciers under cool and dryer climates. Although in the Itajai-Mirim area (tropical to subtropical latitude) there

was no glaciation, but the climate changed to semiaridity with deep changes in the hydrologic conditions and in the vegetation cover besides the changes in the erosion processes which affected the slopes, compared with the interglacial humid times.

During the successive and cyclic climatic changes two distinct morphogenetic processes alternated. One operated during semiarid epochs promoting lateral degradation of the terrain and parallel retreat of the slopes beside sedimentation. The other under humid conditions was responsible for the vertical dissection of the terrain and for the development of erosive inconformities (diasteme) in the stratigraphic sequences.

The successive and cyclic semiarid long lasting epochs gave origin to pediplanes and pediments developing a stair-like landscape represented by degradational and aggradational levels, being the last ones gravel and sandy deposits of former braided stream systems. In the valley flat there are low gravel terraces not related to pediments.

In the valley flat the varzea terraces T_{va} and T_{vi} developed as flood plain levels during the present humid climatic epoch, represent two short phases of drier climates.

The Itaiapava Formation sediments were deposited as successive sheets under fast torrential transport in a braided stream environment.

The colluvium-alluvium ramps were formed by a sequence of mass movement deposits originated from solifluction processes. Inside the ramps sediments there are several stone lines formed during drier climatic fluctuation by the removal of the finer detritical material.

I. INTRODUÇÃO

No presente trabalho são tratados como principais objetos de estudo a morfologia do relevo e os depósitos quaternários. O estudo desses ambas permite compreender melhor a gênese e formação do Vale do Rio Itajaí-Mirim durante o Neo-Cenozóico.

No Era Cenozóica as regiões Sul e Sudeste do Brasil foram submetidas a sucessivas mudanças climáticas (úmido e semiárido) que determinaram a ação de processos erosivos predominantes pelas fases de aplainamento e fases de arrefreamento do relevo.

Estudos sobre as formas remanescentes de superfícies submergidas e dos depósitos sedimentares quaternários, e sua caracterização ambiental, foram realizados em Santa Catarina por BIGARELLA, MUSCHIO E AKIBABER (1961); BIGARELLA & SAMARINI (1964); BIGARELLA & MUSSINHO (1965); BIGARELLA (1971); BIGARELLA & BECKER (1975) e BECKER (1976).

O ambiente e quadro geológico da região dão subsídios à interpretação dos relevos geomorfológicos. A formação hidrográfica do Vale do Rio Itajaí-Mirim influira na morfologia do relevo e nos tipos de sedimentos fornecidos para estudo.

A determinação das formas remanescentes de relevo, pode ser feita a partir dos perfis topográficos das linhas de nivelações que delimitam a bacia hidrográfica do Rio Itajaí-Mirim (Serra do Itajaí, Serra do Tijucas e Serra dos Cordeiros), possibilitará a determinação dos níveis de subaplanamento pedemétricos, também, para a área de estudo, bem como a altura das curvas de terracota de cascalho.

Os tipos de cascalhos foram anteriormente descritos por MUSINHO & BECKER (1975) e BECKER (1976), no Baixo Vale do Itajaí-Mirim entre Itajaí e Brusque. Entretanto, na parte sul da subseção no estudo dos terracos (o mearalho se-

restringir-se às ocorrências de Batuverá, onde serão também estudados os sedimentos holocénicos (terracos de várzea e planicie de inundação) e as rampas colúvio-aluvionares alternadas com paleopavimentos detriticos.

BIGARELLA & BECKER (1975) designaram de Formação Itaipava o conjunto de sedimentos fluviais pleistocénicos.

Os cortes de estrada permitirão o levantamento de uma série de secções estratigráficas, que deverão obedecer à variação vertical e lateral das sequências sedimentares.

Os depósitos sedimentares fornecerão importantes informações no que concerne à identificação e reconstituição dos processos e ambientes de sedimentação, que serão obtidos a partir dos detalhes estruturais e sedimentológicos.

O estudo dos sedimentos quaternários envolverá: a) características estruturais; b) análise mecânica (textura); c) microsscopia (arredondamento, esfericidade e textura superficial); d) composição mineralógica e/ou litológica; e) cor. Pretender-se com isto reconstituir-se as características ambientais e paleoclimáticas.

Os valores das frações granulométricas fornecidos pela análise mecânica (peneiramento e pipetagem) lançados em papel de probabilidade aritmética (semi-log) permitem traçar a curva de frequência acumulada que fornecerá valores em fi (Ψ) para o cálculo dos parâmetros estatísticos.

Serão analisados os parâmetros texturais formulados por FOULK & WARD (1957): média aritmética (M_x); desvio padrão (G_x); assimetria (S_{xx}); e curvose (K_x).

Também serão determinados a mediana, classe modal, classificação textural e número de classes texturais. Os valores das frações granulométricas serão representados

graficamente em diagramas circulares, histogramas e diagramas triangulares.

A pesquisa geomorfológica da forma como será conduzida, permitirá a reconstituição da evolução paleogeográfica e paleoclimática da área que poderá ser generalizada para o Vale do Rio Itajai-Mirim, complementando assim o quadro geomorfológico da área iniciado com a descrição do Baixo Vale do Rio Itajai-Mirim por BIGARELLA & MOUSINHO (1965); BIGARELLA & BECKER (1975) e BECKER (1976).

2. DESCRIÇÃO DA ÁREA

A área de estudo localiza-se no município de Botuverá a 21 Km de Brusque, no Alto Vale do Rio Itajaí-Mirim (Fig. 1).

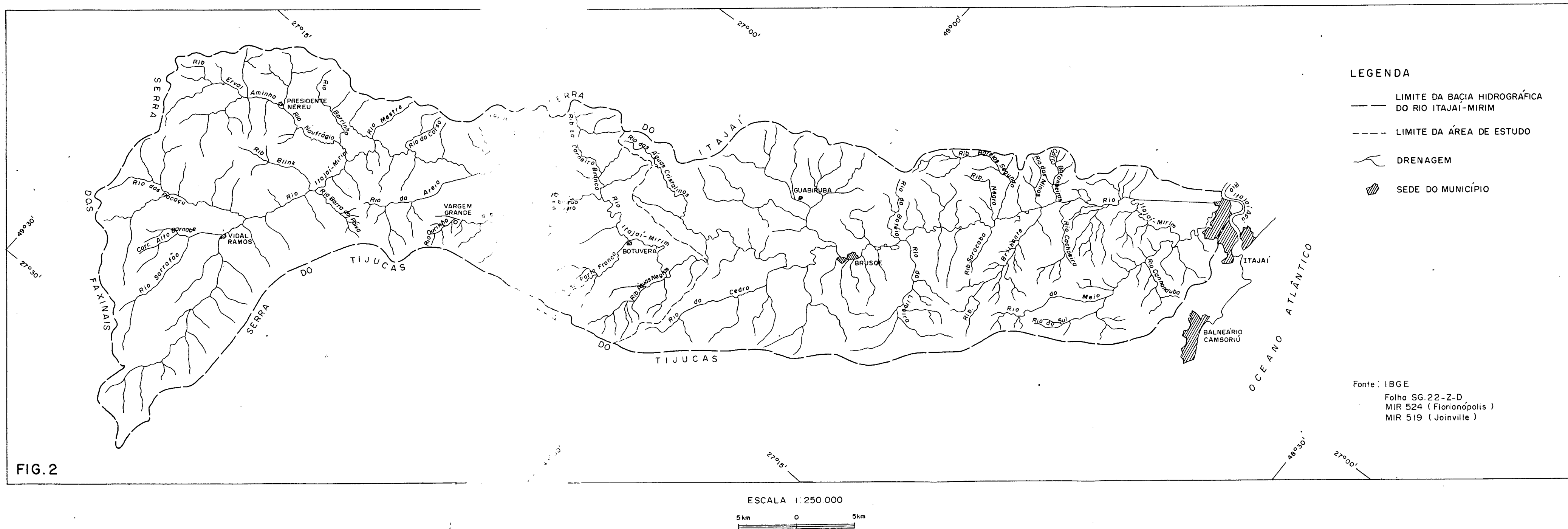
A Bacia do Rio Itajaí-Mirim é delimitada por três importantes formações orográficas. Ao norte estende-se a Serra do Itajaí, e ao sul a Serra do Tijucas. Ambas possuem uma orientação geral de SW-NE. A Serra dos Faxinais representa o divisor d'água e oeste da bacia. O Rio Itajaí-Mirim faz parte do sistema de drenagem da vertente atlântica em Santa Catarina (Fig. 2).

O Vale do Rio Itajaí-Mirim tem atraído a atenção por apresentar diversos níveis de terraços fluviais pleistocénicos, cuja deposição está relacionada a vários ciclos de sedimentação (época semi-árida). São identificados cinco níveis de terraços de cascalho (T_{pd} , T_p , T_{pa} , T_{ce} e T_{ca}), embutidos em diferentes posições topográficas, que se encontram distribuídos entre Itajaí e Botuverá.

A Floresta Tropical Atlântica (Floresta Umbrofílica Densa), que representa a cobertura vegetal original, atualmente se restringe às partes mais acidentadas do vale, com distribuição mais ampla nas proximidades das serras do Itajaí e do Tijucas.

As normais climatológicas da estação meteorológica de Botuverá indicam uma precipitação anual de 1.749,6mm e uma temperatura média anual de 20,0°C. O maior índice de precipitação ocorre em setembro (~202,7mm), enquanto que agosto corresponde ao mês mais seco (~91,5mm). Os meses mais quente e mais frio ocorrem respectivamente em janeiro (24,4°C) e julho (15,6°C).

HIDROGRÁFICA DO RIO ITAJAIÍ-MIRIM



No alto e medio Vale do Rio Itajaí-Mirim o valley flat é estreito ou inexistente e está limitado por encostas fortemente inclinadas, que caracterizam o elevado potencial erosivo representado pelo relevo. A atividade econômica da área é essencialmente agrícola, baseada na plantação de fumo, que ocupa os níveis de terraços e faixas de terras elevadas e acidentadas. A substituição da cobertura florestal por pastagens e agricultura expõe o solo ao impacto da chuva, permitindo um processo de escoamento superficial mais intenso e a consequente retirada rápida do material detritico mais fino do solo. As vertentes também estão sujeitas a movimentos de massa. A ação destes processos erosivos nas vertentes são responsáveis pelo entulhamento rápido dos rios que sobrecarregam as águas no transporte da carga detritica, que aumenta a violência das cheias.

O desmatamento tem sido o principal motivo da erosão acelerada das vertentes e mudanças no regime hidrológico. As enchentes tornaram-se mais frequentes alcançando níveis de terraço que anteriormente não eram atingidas.

As enchentes têm afetado a atividade econômica do Vale do Rio Itajaí-Mirim, principalmente a jusante de Brusque que constitui o mais importante polo industrial do vale.

3. GEOLOGIA

O Vale do Rio Itajaí-Mirim é constituído por diversas unidades geológicas compreendendo rochas magmáticas intrusivas, rochas metamórficas e sequências sedimentares, na seguinte ordem cronológica da mais recente para mais antiga:

- 9 - Formação Quaternária
- 8 - Corpo Alcalino de Guarenta
- 7 - Grupo Passa Dois - Formação Iratí
- 6 - Super Grupo Tubarão
 - a) Grupo Guatá
 - Formação Palermo
 - Formação Rio Bonito
 - b) Grupo Itararé
 - Formação Rio do Sul
- 5 - Sutão Intrusiva Guabiruba
- 4 - Sutão Intrusiva Valsungana
- 3 - Complexo Metamórfico Brusque
- 2 - Complexo Tabuleiro
- 1 - Complexo Granulítico de Santa Catarina

Em termos de distribuição espacial (areal), o Complexo Metamórfico Brusque constitui o principal conjunto de formações geológicas da área. Trata-se de rochas metamórficas de baixo grau de metamorfismo, predominando os alinementos do gericitita-xisto (filito) e outras rochas xistosas (Fig. 5).

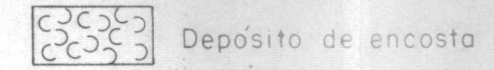
MAPA GEOLÓGICO - BOTUVERÁ



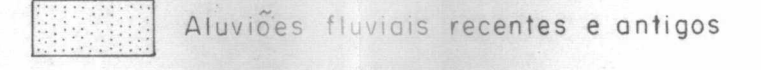
LEGENDA

CENOZOÍCO

Quaternário



Depósito de encosta



Aluviões fluviais recentes e antigos

MESOZOÍCO

Juro - cretáceo

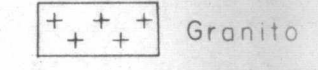


Corpo alcalino de quarenta

EO-PALEOZOÍCO

Cambriano

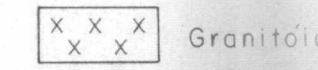
Suite intrusiva guabiruba



Granito

PROTEROZOÍCO INFERIOR A MÉDIO

Suite intrusiva valsungana

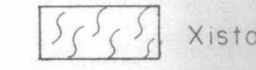


Granitóide

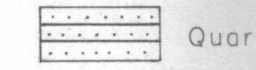
PROTEROZOÍCO INFERIOR

Complexo metamórfico Brusque

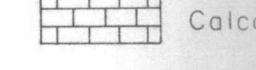
Sequência terrígena e sequência vulcano-sedimentar



Xistos



Quartzito

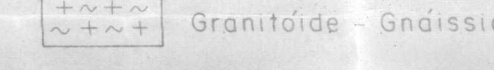


Calcáreo

ARQUEANO

Complexo taboleiro

Faixa Granito - Gnáissico Itajá - Faxinal



Granitóide - Gnáissico

— Contato geológico definido

- - - Contato geológico aproximado

Drenagem

— Limite da área de estudo

FONTE:

MODIFICADO DO

Projeto Brusque - Serra do Taboleiro (DNPM-CPRM)

Folha SG.22-Z-D-1-2 - Botuverá 1976

Projeto Vidal Ramos - Biguacú (DNPM-CPRM)

Folha SG.22-Z-D-1-4 - Aguti 1978

D'ELBOUX, C. V.; TAVARES, J. R. P. & PAIVA, I. B. 1982

1km 0 1 2 3 4km
ESCALA

3.1. Complexo Granulítico de Santa Catarina

HARTMANN, SILVA & ORLANDI FILHO (1979) propuseram a designação de Complexo Granulítico para o conjunto de rochas metamórficas de alto grau, das fácies anfibolito e granulito, que constituem o segmento setentrional do escudo catarinense.

O Complexo Granulítico representa a unidade cronológica mais antiga de Santa Catarina considerada como arqueana.

SILVA & DIAS (1981) dividiram o Complexo Granulítico em dez unidades geológicas devido à sua diversidade lito-estrutural, assim designadas: 1) gnaisses-granulíticos leucocráticos; 2) milenitos granulíticos; 3) blastomilonitos de derivação granulítica; 4) ultramafitos; 5) gnaisses calcossilicáticos; 6) gnaisses kinzigiticos; 7) anortositos; 8) quartzitos; 9) formações ferriferas, e 10) gnaisses cataclásticos.

Os gnaisses-granulíticos leucocráticos constituem a principal unidade do Complexo Granulítico, com cerca de 80% da área aflorante do complexo (SILVA & DIAS, 1981). Porém, no Vale do Itajaí-Mirim são encontrados apenas afloramentos da unidade geológica denominada de blastomilonitos de derivação granulítica.

Os xistos blastomiloníticos têm ocorrência restrita a sudeste da folha de Gaspar e sudoeste da folha de Itajaí. Constitui uma faixa de direção geral N50° E., com largura aproximada de 7 Km na folha de Gaspar, estreitando-se para 2 Km na folha de Itajaí (SILVA & DIAS, 1981).

Os blastomilonitos de derivação granulítica são constituídos na maior parte por xistos e quartzitos e majoritariamente por gnaisses. Os xistos apresentam cor

cinza-escura esverdeada. Os xistos e quartzitos são rochas de granulação fina, constituídas à base de quartzo e muscovita (SILVA & DIAS, 1981).

Os quartzitos podem formar cordões concordantes com a foliação geral da faixa. Estes cordões constituem finas bandas com espessura média entre 50 e 100m, podendo estender-se por até 10 Km. Os quartzitos encontram-se intercalados nos xistos (SILVA & DIAS, 1981).

Os gnaisses são derivados dos granulitos por processos de cátexia e recristalização. Estas rochas apresentam cor cinza-esbranquiçada, com forte xistosidade (SILVA & DIAS, 1981).

3.2. Complexo Tabuleiro

SCHULZ & ALBUQUERQUE (1969) propuseram inicialmente a designação do Grupo Tabuleiro para as rochas gnáissicas e migmatíticas do litoral catarinense, redefinida como Complexo Metamorfo-Migmatítico por TRAININI et alii (1978). SILVA (1987) passou a considerar o Complexo Tabuleiro como constituído de complexos gnáissicos-graníticos e migmatíticos. Os afloramentos deste conjunto de rochas no Vale do Rio Itajaí-Mirim são classificados como Faixa Granito-Gnáissica Itajaí-Faxinal, considerada de idade arqueana.

O Grupo Tabuleiro é constituído na base por migmatitos de diferentes tipos e granitos de anatexia, e na porção superior por gnaisseos portiríticos (KALL et alii, 1976).

A área lida anteriormente como de distribuição do Granito Valsurquaria na região de Guabiruba a nordeste de

Brusque, passou a ser correlacionada à Faixa Granito-Gnáissica Itajat-Faxinal por SILVA (1987).

SILVA (1987) considerou mais três áreas de afloramento associados à Faixa Granito-Gnáissica sendo respectivamente a mina do Morro do Carneiro Branco; no Rio Antinha (Presidente Nereu) e na região do Faxinal do Beppe. As duas últimas já foram descritas anteriormente por KAUL et alii (1976) e TRAININI et alii (1978).

Os gnaisses de Presidente Nereu são cinzentos de composição granodiorítica a tonalítica, ricos em hornblenda. Na mina de ouro do Morro do Carneiro Branco (nordeste de Botuverá) são descritos como hornblenda tonalitos e granodioritos-gnáissicos, de granulação fina a média, de cor cinza-esverdeado. Representam pequenos afloramentos com poucas centenas de metros de extensão e espessuras de poucas dezenas de metros (SILVA, 1987).

O granito aflorante na área do Faxinal do Beppe foi referido por KAUL et alii (1976) como Granito Faxinal (nordeste de Botuverá). De acordo com SILVA (1987), aflora numa área de 10,16 de comprimento por 1,5 Km de largura média. Foi por este autor descrito como um granitóide-gnáissico cinza escuro, de granulação fina a média e textura perfiríde.

3.3. Complexo Metamórfico Brusque

3.3.1. Sequências vulcano-sedimentar e epiclástica

CARVALHO & PINTO (1938) descreveram os filitos, quartzitos e calcaríos da região, bem como as intrusões graníticas grupando-os na Série Brusque. SCHULZ & ALBUQUERQUE (1959) redefiniram o conjunto referindo-o como

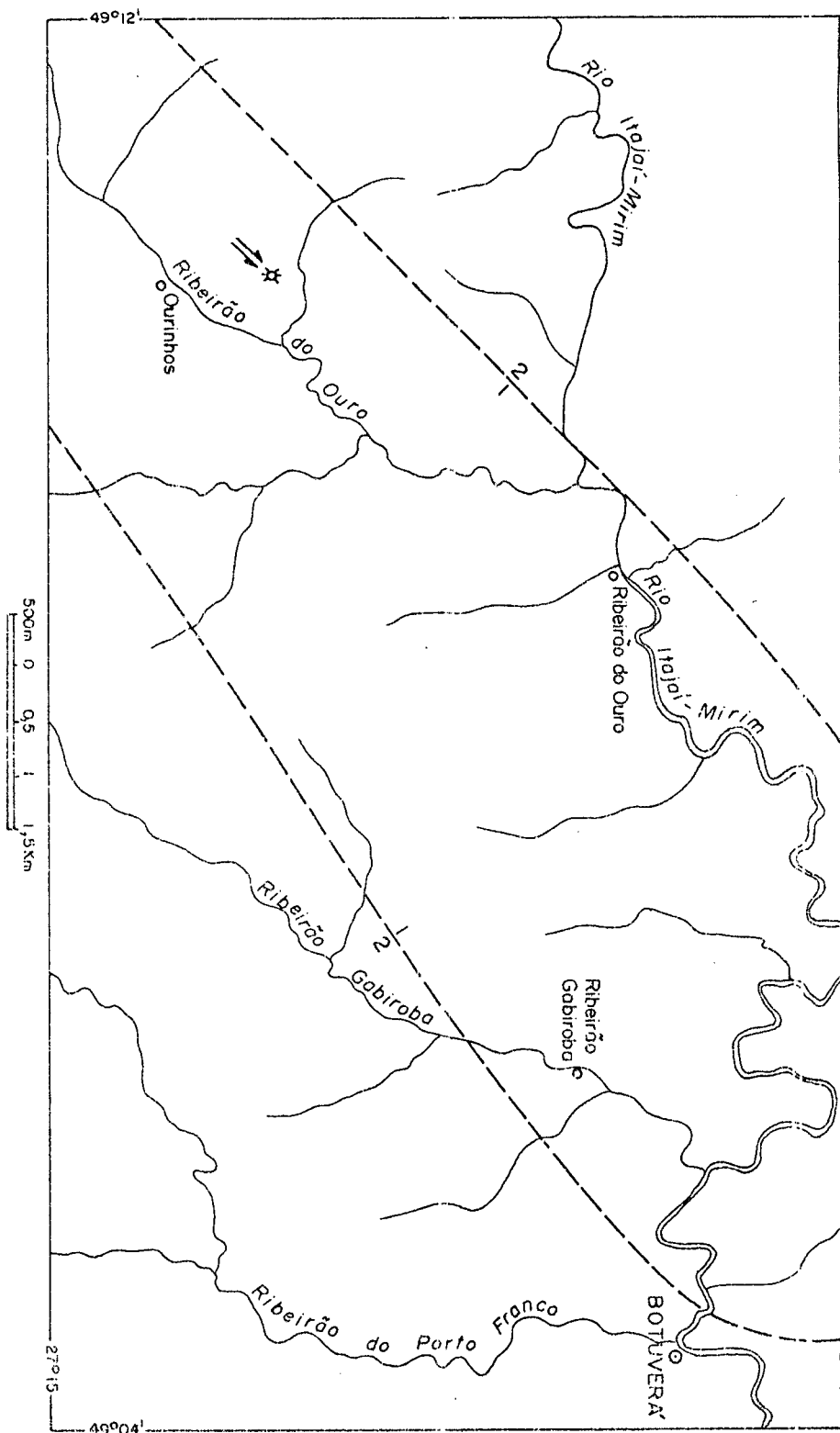
Grupo Brusque, subdividindo-o em três unidades distintas: Formação Botuverá; Granodiorito Valsungana e Granito Guabiruba.

SILVA & DIAZ (1981) designaram o Grupo Brusque (Formação Botuverá) de "Complexo Metamórfico Brusque", caracterizando-o pela primeira vez como uma típica sequência supracrustal de natureza vulcano-plutônio-sedimentar dobrada no Proterozoico Inferior, não descartando a hipótese da mesma ter uma origem semelhante à dos greenstone-belts.

Os xistos do Grupo Brusque originaram-se do metamorfismo regional progressivo sob baixa condições de P/T de uma sequência pelítica original (SILVA, TRAININI & HARTMANN, 1978). Estes autores constataram no Grupo Brusque a atuação de sucessivas fases metamórficas e deformacionais (polimetamorfismo), onde estabeleceram quatro fases metamórficas e três fases deformacionais, de natureza cisalhante que transpõe todas as estruturas tectônicas anteriormente desenvolvidas. A interveniência de três fases de dobramento isoclinal foram acompanhadas ou sucedidas por quatro fases de crescimento mineral.

O Complexo Metamórfico Brusque abrange rochas de baixo grau de metamorfismo, formando um cinturão alongado com cerca de 70 Km orientado na direção NE - SW, desde Itajai até Vidal Ramos. A oeste limitar-se com a cobertura sedimentar da Bacia do Paraná. Dados aeromagnetométricos sugerem sua continuidade por uma extensão de pelo menos 25 Km sob aquela cobertura (SILVA, 1983; SILVA, 1987).

SILVA (1982) diferenciou para o Complexo áreas de predominância das frações sedimentares e das vulcano-sedimentares (Fig. 4). A Sequência Vulcano-Sedimentar Rio Itajai-Mirim é caracterizada por uma

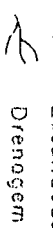


CONVENÇÕES

Δ Localização da Ocorrência de Basalto Variabilico (Matriz Ultra-mafica quebra de possivel afinidade Komatiítica)

— 1 — Limite aproximado entre os Seqüências Vulcano-Sedimentar (1) e Sedimentar (2) do Complexo Metamórfico Brusque.

- (1) Seqüencia Vulcano - Sedimentar Ribeirão do Ouro (Silva, 1937)
- Sede do Município
- Localidade



MODIFICADO DE SILVA (1983).

Fig. 4 - Complexo METAMÓRFICO BRUSQUE - BOTUVERÁ

"Séquencia metavulcano-sedimentar com predominância de termos sedimentares pelíticos (micaxistos), subordinadamente sedimentos clásticos (metarenitos, quartzitos, metagrauvacas) e químicos (metacalcários dolomíticos, formações ferríferas bandadas-Bifs). Vulcanismo sinsedimentar restrito, com emissões de composição complexa: ácida, básica e ultrabásica."

Na sequência sedimentar predominam os depósitos de natureza pelítica metamorfosados em: micaxistos; filitos, eventualmente grafíticos; mica-xistos granatíferos; xistos grafíticos carbonáticos; mica-xistos com cloritóide; filitos; quartzitos; metamargas. Ocorrem ainda metapsamitos variados sem maiores expressões em áreas: metarenitos, metarcósios, "quartzitos" diversos, xistos quartzo-feldspárticos (SILVA, 1987).

De acordo com SILVA (1983), as faixas vulcano-sedimentares compõem aproximadamente 30% do total da área de distribuição do Complexo Brusque, assumindo formas alongadas concordante com a maior dimensão do cinturão. As duas ocorrências principais de metavulcanitos encontram-se nas regiões de Ourinhos e Ribeirão da Areia.

Em Ourinhos SILVA (1983) verificou a presença de derrames basálticos, tendo chamado a atenção para a ocorrência inédita no sul do país de lavas de natureza variolítica, em especial, por apresentarem matriz ultramáfica "quenched" com possíveis afinidades komatiíticas (Fig. 4). Este fato reforçaria a hipótese do Complexo constituir-se numa sequência vulcano-sedimentar do tipo greenstone-belt.

A associação vulcano-sedimentar sugere ambiente marinho, não profundo. Os derrames basálticos de natureza variolítica sugerem deposição submarina com lâmina d'água inferior a 100m. (SILVA, 1984).

Os levantamentos de detalhe na região, revelaram na Sequência Vulcano-Sedimentar Rio Itajaí-Mirim diversidades

nas características litológicas e estruturais, que requereram a adoção de designações próprias para cada um dos domínios vulcano-sedimentares (SILVA, 1987).

SILVA (1987) refere para os domínios vulcano-sedimentares três faixas principais: a primeira localiza-se próxima à Guabiruba; a segunda área é representada por uma estreita faixa que acompanha o Ribeirão do Ouro, próxima a Botuverá (Sequência Ribeirão do Ouro); a terceira faixa situar-se a norte de Canelinha e Tijucas, junto ao Vale do Rio do Oliveira (Sequência Rio do Oliveira).

Os filitos às vezes são grafíticos, em geral bastante sedosos devido à abundância de muscovita. Os quartzitos são micáceos, geralmente cinza-esbranquiçado e de granulação fina a média, encontrando-se com sequências de xisto e filito (SILVA & DIAS, 1981).

As cores dos xistos e filitos variam de tonalidade cinza clara a cinza escuro, passando a vermelho e amarelo pelo efeito do intemperismo químico. Os xistos de coloração verde correspondem à Sequência Vulcano-Sedimentar Ribeirão do Ouro, de origem provavelmente semelhante a dos greenstone-belts.

KAUL et alii (1976) interpretam a existência de corpos xenolíticos de xisto da Formação Botuverá no Granodiorito Valsungana como resultado do desprendimento de blocos de xisto das paredes e do teto da rocha metamórfica encaixante, que caíram e afundaram durante a ascensão do magma no núcleo da dobragem anticlinal dos xistos.

Na ascensão domônica do granitóide, o contato com a rocha metamórfica encaixante provocou a recristalização do xisto numa faixa muito estreita (Fig. 5).

As principais linhas de falhas observadas mostram orientação N45°-60°E e N45°-60°W. As falhas de direção

N 45° -60 $^{\circ}$ E são as mais importantes, constituem a "série das falhas de contato", isto é, incluem as mais importantes falhas de contato. As dobras também apresentam direção predominante de NE - SW (KAUL et alii, 1976; TRAININI, 1976). Nas rochas da Formação Botuverá (xistos e filitos) observa-se presença de microdobras.

3.3.2. Calcário

Os calcários apresentam cores de tonalidades variáveis, desde branco até cinza escuro. A granulação é fina. Na rocha encontram-se feições drusiformes, nas quais acham-se sinais de cristais brancos. A presença de matéria carbonosa é responsável pela cor escura da rocha. Segundo Kaul et alii (1976), os calcários são bem estratificados e com filonetes de carbonato recristalizados paralelos à estratificação ou preenchendo microfraturas. São constituídos de calcita, dolomita, quartzo, clorita, pirita e matéria carbonosa.

Os calcários aparecem na forma de lentes alongadas ou camadas, quase sempre acompanhadas por falhas de direção NE - SW. Os afloramentos de metacalcário e metadolomito são praticamente delimitados ao longo do lineamento Rio da Areia nas Folhas de Vila Ramos, Aguti e Botuverá (KAUL et alii, 1976; TRAININI et alii, 1978).

Os calcários encontram-se associados aos xistos ou filitos. Apresentam uma espessura média de 40 m, às vezes atingem 500 m. A extensão das lentes é superior a 100 m (KAUL et alii, 1976).

Segundo TEIXEIRA, SCHEIBE & AUMOND (1971), nas zonas de falhamentos há ocorrências de grutas de dissolução, com formação de estalactites. A gruta situada em Ribeirão do Ouro é de tamanho regular com salões de até 15 m de altura.

Os calcários correspondem à precipitação de calcita em lagoas, com posterior dolomitização em certas áreas.

Os calcários são rochas facilmente dissolvidas pela água com gás carbônico dissolvido, o qual reagindo com o CaCO₃ (carbonato de cálcio) transforma-o em Ca(HCO₃)₂ (bicarbonato de cálcio), mais solúvel e fácil lixiviação. A alta incidência de falhas nos calcários da região favoreceu a circulação da água, promovendo a abertura e o alargamento lento das fendas resultando na formação de grutas. No interior da gruta de Ribeirão do Ouro, o teto encontra-se revestido por estalactites de extremidade pontiaguda (Foto 1). As estalactites são formadas pelo gotejamento da água através da precipitação do bicarbonato de cálcio sob a forma de calcita quando se desprende o gás carbônico. A cristalização bem desenvolvida da calcita origina formas bonitas de revestimento. A queda continua de gotas d'água a partir das estalactites possibilitou a formação de stalagmites (Foto 2), estas podem ocorrer sob formas menos pontiagudas ou então apresentam-se de maneira exótica, comumente em forma de "velas" (Foto 3). O desenvolvimento das stalagmites ocorre de baixo para cima, a qual pode se unir com as estalactites.

Dentro da gruta de Ribeirão do Ouro são encontrados seixos subarrecocados transportado e depositado pela drenagem subterrânea proveniente das encostas mais elevadas, que circulando no interior da gruta desagua diretamente numa pequena lagoa.

O recurso mineral de maior importância econômica na região é constituído pelas rochas calcárias, cuja exploração destina-se principalmente à fabricação de cimento, e em menor escala para a produção de cal e corretivo de solo. Para a produção de corretivos são utilizados os calcários dolomíticos.



FOTO 1 - Gruta de Ribeirão do Ouro revestido por estalactites de extremidade pontiaguda (Foto cedida pelo guia da gruta Sr. Albino de Batuverá).

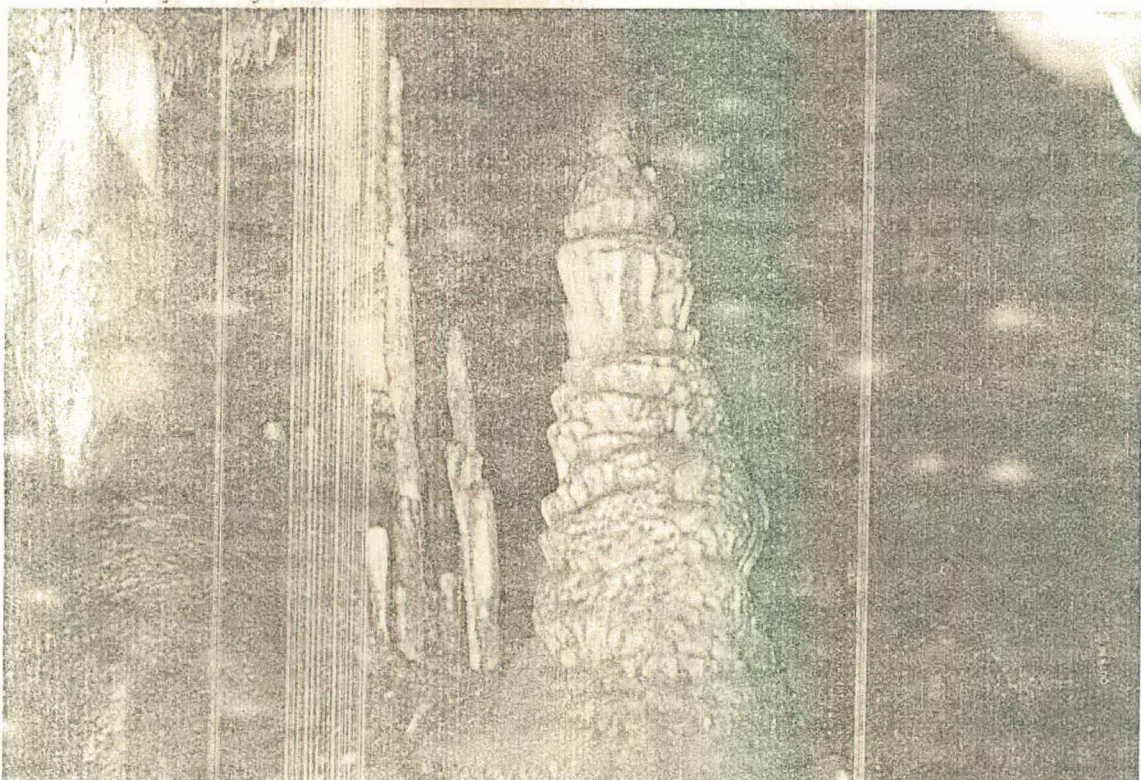


FOTO 2 - Gruta de Ribeirão do Ouro com formação de estalagmitas (Foto cedida pelo Sr. Albino).



FOTO 3 - Gruta de Ribeirão do Ouro com formação de estalagmitas em forma de "velas" (Foto cedida pelo Sr. Albino).

3.4. Suite Intrusiva Valsungana

A revisão dos conceitos referentes à Suite Intrusiva Valsungana foi realizada por TRAININI et alii (1978). Anteriormente o conjunto litológico em questão era denominado de Granodiorito Valsungana por SCHULZ & ALBUQUERQUE (1969) e incluído no Grupo Brusque.

O Granodiorito Valsungana mantém contato intrusivo com os xistos e filitos da Formação Botuverá.

KAUL et alii (1976) descrevem o Granodiorito Valsungana como uma rocha de coloração normalmente cinza, granulação bastante grosseira com fenocristais de feldspato (textura porfíritica). São constituídos principalmente de quartzo, plagioclásio e microclinio. Na folha de Botuverá,

os afloramentos não são frequentes, aparecendo sob a forma de corpos isolados. Na superfície dos massacões destacam por erosão diferencial os fenocristais de feldespato originando uma superfície áspera.

SILVA & DIAS (1981) referem-se a formas domicas para as intrusões do granitóide, bem como do Granito Guabiruba, no Complexo Metamórfico Brusque. O conjunto intrusivo faz parte de uma estrutura botolítica. Os granitóides da Suite Intrusiva Valsungana podem ser classificados como um granito metamórfico-metassómatico. Anteriormente os mesmos foram referidos por KAUL et alii (1976) como gnáisico porfiritico.

3.5. Suite Intrusiva Guabiruba

O Granito Guabiruba anteriormente incluído no Grupo Brusque por SCHULZ & ALBUQUERQUE (1969), foi redefinido por TRAININI et alii (1978) como Suite Intrusiva Guabiruba.

O Granito Guabiruba situado na porção sudeste da área de estudo, na Serra do Tijucas (Folha Aguti), foi referido por TRAININI et alii (1978) como Granito Serra do Tijucas. O Granito Guabiruba foi descrito por KAUL et alii (1976) como uma rocha comumente de cor cinza-clara de granulação fina e textura granitica típica, constituída essencialmente de quartzo, ortoclásio, plagioclásio e biotita.

O granito é intrusivo no Complexo Metamórfico Brusque e no Granitóide Valsungana. SILVA & DIAS (1981) o consideram com características de posicionamento domico no granitóide. KAUL et alii (1976) mencionam a intrusão do granito no granofiorito sob a forma de apófises e diques, de contato brusco.

3.6. Super Grupo Tubarão

O Super Grupo Tubarão é representado no Vale do Rio Itajai-Mirim pelos Grupos Guatá (Formação Palermo e Formação Rio Bonito) e Itararé (Formação Rio do Sul).

3.6.1. Grupo Itararé

3.6.1.1. Formação Rio do Sul

No Vale do Rio Itajai-Mirim, o Grupo Itararé é representado pela Formação Rio do Sul com afloramentos na porção noroeste da Folha de Aguti, e na folha de Vidal Ramos.

O Grupo Itararé compreende um pacote sedimentar de rochas originadas em ambiente glacial e periglacial de idade do Carbonífero Superior a Permiano Médio (BORTOLUZZI, AWDZIEJ & ZARDO, 1987).

A Formação Rio do Sul é constituída de sequências distintas, sendo a inferior de folhelhos e diamictitos, a média de siltitos, e folhelhos e a superior de siltitos e arenitos (TRAITIKI et alii, 1978).

3.6.2. Grupo Guatá

3.6.2.1. Formação Rio Bonito

No Vale do Itajai-Mirim, a Formação Rio Bonito aflora na parte meridional da folha de Atafona.

A Formação Rio Bonito é constituída por arenitos argilosos fossilíferos, com intercalações de siltito argiloso escuro (KRUL et alii, 1976), depositados sobre as sequências sedimentares do Grupo Itararé. A Formação Rio Bonito compreende três seções distintas, sendo a inferior arenosa, a intermediária argilosa e a superior arenoso-argilosa. Os

sedimentos são considerados de origem marinha, flúvio-deltaica e litorânea (BORTOLUZZI, AWDZIEL & ZARDO, 1987).

3.6.2.2. Formação Palermo

No Vale do Rio Itajai-Mirim, os afloramentos da Formação Palermo restringem-se numa estreita faixa a sudoeste da cidade de Vidal Ramos (TRAININI et alii, 1978).

A Formação Palermo é constituída de siltitos arenosos, siltitos e folhelhos silticos com intercalações delgadas e interlaminacões de arenitos quartzosos muito finos. A matéria orgânica aparece principalmente nos horizontes de granulometria mais fina. As cores das rochas são em geral cinza-escura média e clara, e menos frequente cinza esverdeada. Quando a rocha encontrase alterada, as cores são amarela esverdeadas (BORTOLUZZI, AWDZIEL & ZARDO, 1987).

A origem e ambiente de deposição é tida pelos autores citados como marinho de águas rasas em condições de baixa energia.

3.7. Grupo Passa Dois

3.7.1. Formação Irati

Do Grupo Passa Dois apenas a Formação Irati ocorre no Vale do Rio Itajai-Mirim como uma "ilha" de formato alongado orientada na direção N-S. Aflora na porção sudoeste da folha de Vidal Ramos, com uma espessura estimada de 30 - 35 m (TRAININI et alii, 1978).

A Formação Irati apresenta da base para o topo a seguinte sequência: folhelhos cinza-chumbo; folhelhos

pireobetuminosos cinza-chumbo intercalados com camadas e lentes de calcário dolomítico cinza-escuro, e no topo uma sequência intercalada de saltitos e argilitos cinza-claros (TRAININI et alii, 1978).

A origem e ambiente de deposição da Formação Iratí é tida na literatura mais recente como marinho de águas calmas rasas.

3.8. Corpo Alcalino de Quarenta

O corpo de rocha alcalina de Quarenta foi descoberto recentemente por D'ELBOUX; TAVARES & PAIVA (1982), ao sul de Botuverá, na localidade de Quarenta, no Ribeirão do Campo Novo (Fig. 3). Os autores caracterizaram o afloramento como uma pequena chaminé de fonólito de idade cretácea superior com aproximadamente 5 ha de área. Estes autores correlacionaram as rochas alcalinas com os diques com mineralizações tório-uraníferas.

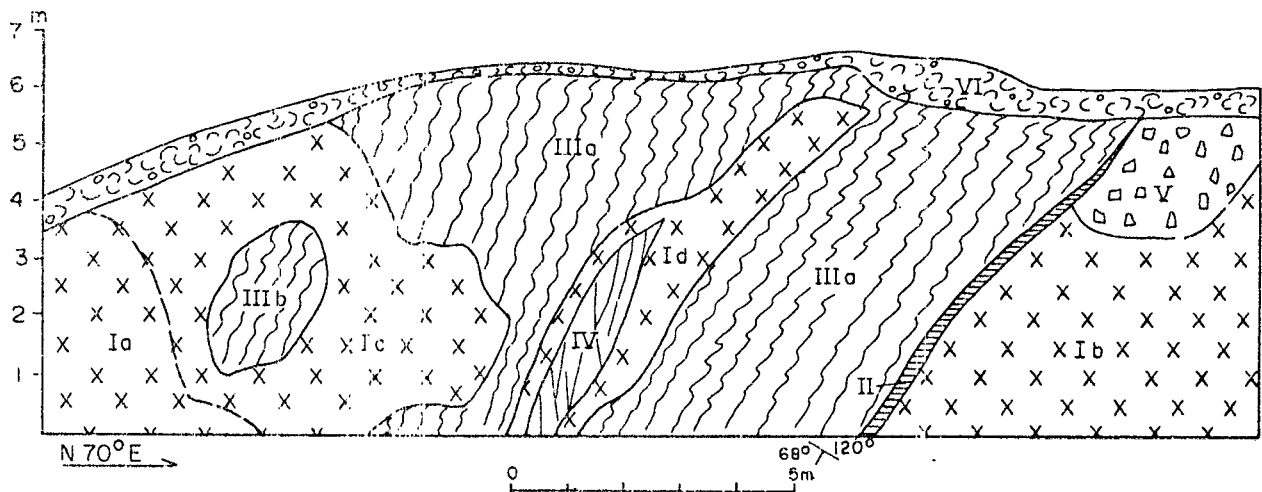


Fig. 5 - Secção geológica K

Fig. 5 - Secção Geológica (K) - Corte localizado na bifurcação das estradas de Lageado Alto e Lageado Baixo.

- I - Intrusão do granitóide da Suite Intrusiva Valsungana com diferentes estágios de alteração "in situ".
 - Ia - Apesar de alterada apresenta-se relativamente compacta;
 - Ib - Alteração mostrando os efeitos da erosão diferencial dos fenocristais de feldspato;
 - Ic - Neste setor do corte o granitóide apresenta um grau mais elevado de alteração, superior àqueles dos setores Ia e Ib;
 - Id - O grau de alteração do granitóide é semelhante ao setor Ic;
- II - Faixa de contato entre o granitóide (responsável pelo processo de granitização-recristalização) e sericitaxisto originada pela ascensão domica da intrusão;
- IIIa - Sericitaxisto;
- IIIb - Xenólito de sericitaxisto englobado pelo granitóide;
- IV - Conjunto de veios verticais de quartzo intrusivo no Granitóide Valsungana;
- V - Canal de erosão cortando o granitóide alterado preenchido com fragmentos grosseiros de rocha xistosa (sericitaxisto);

VI - Colúvio de natureza arenoso-siltico-argilosa com fenoclastos grosseiros recobrindo o material alterado "in situ" (eluvio), bem como os depósitos do pequeno canal.

4. ASPECTOS GEOMORFOLOGICOS

A feição morfológica do relevo do Vale do Rio Itajai-Mirim é constituída de três unidades geomorfológicas, referidas por ALMEIDA (1952) como planaltos sedimentares, serras litorâneas e planícies costeiras.

A unidade geomorfológica Serras Litorâneas na sua maior parte é sustentada pelo embasamento rochoso do Complexo Metamórfico Brusque (xistos e filitos), com intrusões graníticas da Suite Intrusiva Valsungana e Suite Intrusiva Guabiruba, por sua vez os afloramentos do Granito-Gnaissico Itajai-Faxinal não são frequentes na área.

O comportamento topográfico das serras litorâneas na área de afloramento das rochas metamórficas apresenta-se em geral sob aspecto de cristas alongadas, às vezes agudas, de encostas íngremes fortemente dissecadas. Os vales geralmente são encaixados, profundos em forma de "V", com o fundo achatando-se nos rios de maior ordem. No relevo as sucessões de patamares e ondulações são bem nítidas, representadas pelas diversas superfícies e níveis de erosão.

A morfologia das vertentes são caracterizadas atualmente pelo predomínio dos processos morfoclimáticos úmidos, responsáveis pela sequência de formas em protuberância (noses) e entopeiro (hollows) nas feições topográficas mais íngremes do relevo. Nas encostas desenvolvem-se os processos de erosão pluvial e movimento de massa que deslocam o material detritico vertente abaixo. O aspecto morfológico adquirido pelos depósitos de colúvio ao entrarem em contato com o valley flat se constitue em rampas colúvio-aluvionares, suavizando a inclinação das encostas na sua base.

No relevo observar-se que o contato intrusivo do granito no granitídeo constitui aspecto morfológico próprio. O Granito Guabiruba corresponde à superfícies mais elevadas do

relevo, ocorrendo nas serras sob a forma de cristas e nos topos dos morros. O Granodiorito Valsungana de menor resistência aos processos intempéricos e erosivos, corresponde às superfícies mais baixas do relevo, às vezes representam áreas fortemente disseccadas pela drenagem. O contato entre ambos pode estabelecer fortes rupturas de declive no relevo. O comportamento topográfico do Granítido-Gnaissico Itajai-Faxinal é semelhante ao Valsungana, situando-se nos setores mais baixos do relevo. Os granitos formam comumente serras na forma de morros com topos agudos.

No Ribeirão Aguas Negras, a montante da localidade de Sessenta, a alteração química do Granito Guabiruba a partir das diaclases deram origem a matacões, que através do processo de esfoliação determinaram o seu arredondamento. A exposição dos matacões nas vertentes deverse à remoção do material fino que os envolvia pelos processos de escoamento superficial e movimento de massa. Afloramentos de matacões graníticos também são encontrados no Ribeirão Lageado Baixo. Os xistos e filitos raramente constituem fenoclastos com a dimensão de matacões, pois são rochas que se alteram rapidamente sob os efeitos do intemperismo.

O embasamento do Complexo Metamórfico Brusque tem servido para o delineamento do Rio Itajai-Mirim e formação das planícies de sedimentação, de origem fluvial e marinha. Estas fazem parte da unidade geomorfológica Planícies Costeiras de ALMEIDA (1952).

As Planícies Costeiras são representadas no Vale do Rio Itajai-Mirim principalmente por depósitos sedimentares de origem fluvial (terraços de cascalho, terraços de várzea e planicie de inundação), onde apresentam uma superfície de recobrimento mais significativo e mais espessa no baixo

vale. Os sedimentos marinhos e praiais ocupam superfícies menores de recobrimento.

O mapa geomorfológico elaborado para a área de estudo (Botuverá), apresenta uma diversidade de formas de relevo que foram agrupadas em: 1) Modelado das vertentes; 2) Modelado de interflúvios; 3) Modelados fluviais, e 4) Modelado de sedimentação (Fig. 6).

Os grotões geralmente são encaixados, profundos e largos em forma de V. Nos rios de maior ordem o fundo do vale torna-se achataido, apresentando-se mais largo ao longo do canal de drenagem do Rio Itajai-Mirim onde os terraços de cascalho e de várzea e a planicie de inundação são melhores desenvolvidos, em níveis embutidos e escalonados (Fig. 6).

As serras comumente apresentam tops arredondados. São bastante representativas na área de estudo as formas em obreiras que representam níveis de superfícies aplaniadas remanescentes (testemunhos de pediplanos e pedimentos). Os tops mais elevados e pontiagudos correspondem provavelmente a inselbergs (Fig. 6).

No Alto Vale do Rio Itajai-Mirim, distribuídos em faixas altimétricas elevadas em geral de 700 a 1.000 m., são encontrados extensos platôs ondulados, destacando-se no meio destas superfícies elevações mais resistentes identificadas como morros testemunhos e mesas, que fazem parte da unidade geomorfológica Planaltos Sedimentares.

O embasamento de rochas sedimentares são representadas em ordem de importância pelo Grupo Guatá (Formação Palermo e Formação Rio Bonito), Grupo Itararé (Formação Rio do Sul) e Grupo Passa Dois (Formação Irati). Os afloramentos deste ultimo grupo é de pouca expressão espacial, bem como a Formação Palermo.

A morfologia do relevo dos Planaltos Sedimentares é controlado basicamente pelas rochas da Formação Rio Bonito e Formação Rio do Sul. A primeira formação litológica ocupa normalmente porções mais elevadas da superfície com presença de escarpas abruptas. Os interflúvios de aspecto tabular são mantidos pelas camadas mais resistentes de arenito. Os afloramentos de arenito da Formação Rio do Sul encimados pela Formação Rio Bonito formam platôs ondulados. Porém, a Formação Rio do Sul geralmente representa áreas de relevo acidentado devido à dissecação provocada pela rede de drenagem do Rio Itajaí-Mirim. O aprofundamento do vale torna-se acentuado à medida que passa dos afloramentos de arenito para os de siltito, ritmito, folhelho e diamictito, quando finalmente a drenagem atinge as rochas do Complexo Metamórfico Brusque.

A constituição litológica do Vale do Rio Itajaí-Mirim é o fator mais importante na morfogênese do relevo e formação da rede de drenagem. As influências estruturais (falhas e dobrões) determinaram a orientação geral dos rios e serras, alinhados paralelamente na direção SW - NE. Há muitos anos ALMEIDA (1952) já chamou a atenção de que "... as grandes feições da drenagem e do relevo da região oriental do Estado devem ser principalmente atribuídas aos processos de erosão diferencial. Na Série Brusque resistem mais a eles quartzitos e granitos, que micaxistos e filitos..." e continua adiante: "Alguns autores querem ver no traçado dos mais importantes rios e serras de Santa Catarina, influência dominante de falhas e dobramentos, sem atentarem devidamente à constituição litológica do Estado e menosprezando o decisivo papel desempenhado no Sul do Brasil pela erosão diferencial". Desta forma, a abertura do Vale do Rio Itajaí-Mirim deve-se à erosão diferencial que atua mais intensamente em rochas tenras, enquanto que a permanência da Serra do Tijucá e Serra do Itajaí é atribuída à boa

extensão que ocupam os granitos intrusivos no Complexo Metamórfico Brusque.

Os vales são subsequentes escavados nas rochas menos resistentes à erosão pertencentes ao Complexo Metamórfico Brusque, com desníveis aprofundados nas fases de transição climática e na vigência de sistemas morfoclimáticos úmidos. O padrão de drenagem característico na área é o dendrítico.

As posições topográficas mais elevadas na área são em grande parte sustentadas pelas intrusões de granito, e a oeste da bacia hidrográfica de platôs que desenvolveram-se basicamente sobre os arenitos.

MORFOLOGIA

LEGENDA

MODELADO DAS VERTENTES E INTERFLÚVIOS

- XX Grotões
- YY Ombreiras
- Y Inclinação das vertentes
- Ruptura de declive

INTERFLÚVIO

- (X) Topo
- (O) Superfície oplainada
- (C) Colo
- (—) Crista arredondada
- (—) Crista angulosa

MODELADO FLUVIAL

- DRENAGEM
- Principal
- Secundária

- FORMA DE VALE
- Fundo chato
- Vale em "V"

- MODELADO DE SEDIMENTAÇÃO
- Exploração de calcário
- Planície de inundação e baixos terraços

1000m 0 1000 2000 3000m

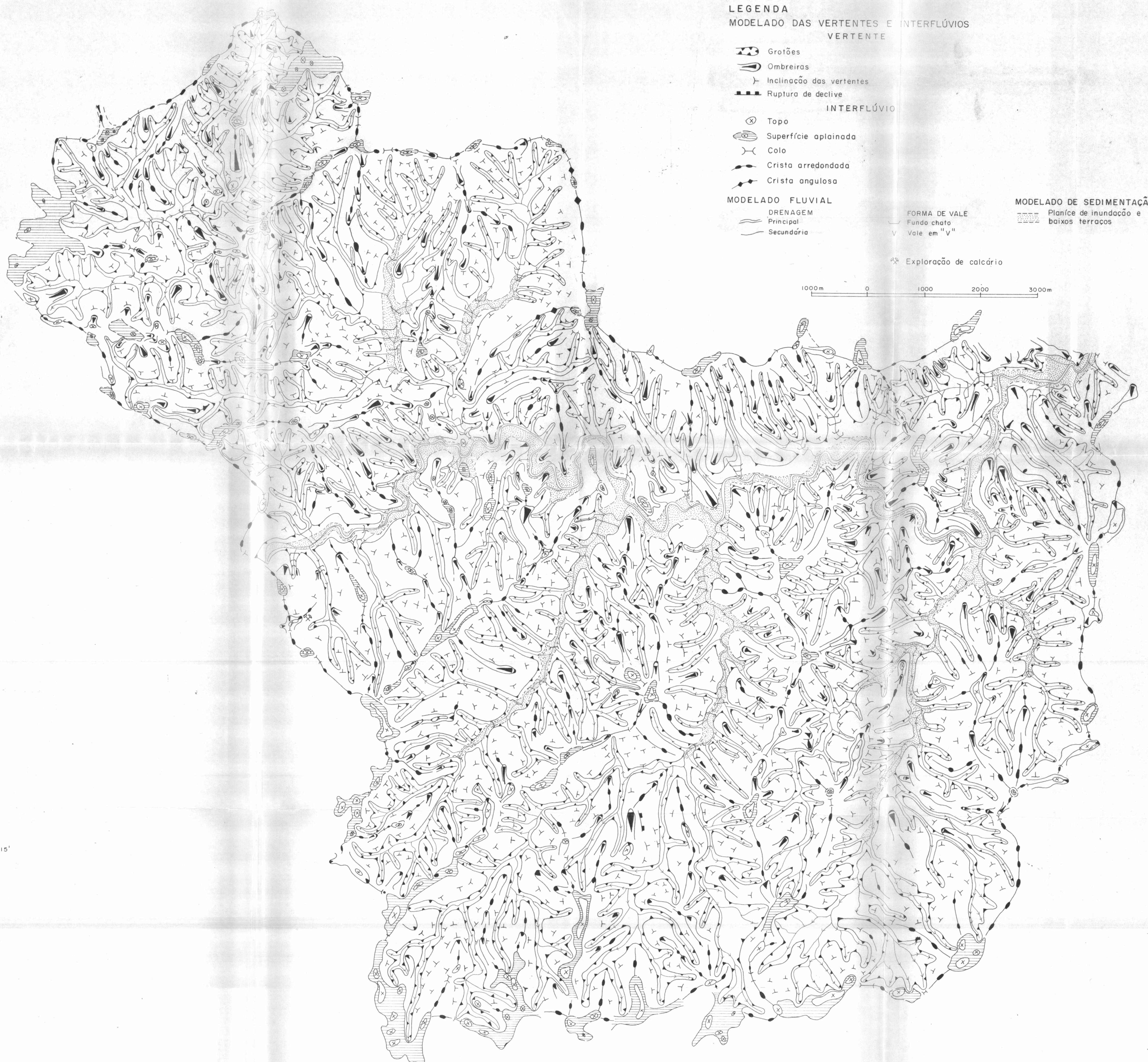


FIG. 6

49° 00'

-27° 15'

10°